



مجله علوم و تکنولوژی پلیمر،

سال بیست و دو؛ شماره ۳

صفحه ۱۳۸۸، ۱۷۱-۱۸۱

ISSN : 1016-3255

# خواص گرمایی کامپوزیت‌های چوب - پلاستیک پس از حذف همی‌سلولوز از آرد چوب

علی اکبر عنایتی<sup>۱\*</sup>، امید حسینانی<sup>۱</sup>، سی چوان وانگ<sup>۲</sup>، سید احمد میرشکرانی<sup>۳</sup>، مهدی تجویدی<sup>۱</sup>

۱- تهران، دانشگاه تهران، دانشکده منابع طبیعی، گروه علوم و صنایع چوب و کاغذ، صندوق پستی ۱۱۳۶۵-۴۵۶۳

۲- تنسی، دانشگاه تنسی، مرکز فراورده‌های چنگلی

۳- تهران، دانشگاه پیام نور، دانشکده علوم، صندوق پستی ۱۹۳۹۵-۴۶۹۷

دریافت: ۸/۲/۲۷، پذیرش: ۸/۴/۲۸

## چکیده

همی‌سلولوز چوب گونه کاج زرد، به روش آب داغ زیر فشار در سطوح دمایی ۱۴۰، ۱۵۵ و ۱۷۰°C حذف شد. پس از تهیه آرد چوب و غربال آن، فرایند اختلاط آرد چوب حاصل از عمل آوری‌های مختلف با پلی‌پروپیلن در اکسترودر انجام شد. درصد وزنی پلیمر ۵۰ درصد وزن خشک آرد چوب بود. تمام نمونه‌ها به همراه نمونه شاهد (که از آرد چوب عمل آوری نشده بود) در دو مجموعه بدون جفت‌کننده و با ۲ درصد جفت‌کننده به کوپلیمر پروپیلن مالتیک دار شده ساخته شدند. پس از اختلاط، مستگاه تزریق برای ساخت نمونه‌های آزمون کشش از دانه‌های ساخته شده به کار گرفته شد. خواص گرمایی کامپوزیت‌ها شامل پایداری گرمایی و مقدار بلورینگی به کمک TGA و DSC مطالعه شد. همچنین، اثر عمل آوری گرمایی بر پایداری گرمایی آرد چوب نیز به وسیله TGA مطالعه شد. مقایسه نتایج کاهش وزن مواد چوبی در عمل آوری‌های مختلف نشان دهنده افزایش مقدار حذف همی‌سلولوز با افزایش دمای عمل آوری است. حذف همی‌سلولوز باعث افزایش پایداری گرمایی آرد چوب (به ویژه عمل آوری در دمای ۱۷۰°C) شد. کامپوزیت‌های ساخته شده از آرد چوب عمل آوری شده در دمای ۱۷۰°C پایداری گرمایی بیشتری نسبت به سایر نمونه‌ها داشتند. ماده جفت‌کننده اثری بر پایداری گرمایی کامپوزیت‌ها نداشت. ولی باعث افزایش مقدار بلورینگی و دمای بلورینگی آنها شد. عمل آوری برای حذف همی‌سلولوز باعث افزایش زبری سطح الیاف شد. حذف همی‌سلولوز هر چند باعث افزایش مقدار بلورینگی شد، اما تنها در نمونه عمل آوری شده در دمای ۱۷۰°C و در مجاورت ماده جفت‌کننده بود که اختلاف آن با سایر نمونه‌های عمل آوری شده معنی دار بود.

## Thermal Properties of Wood-Plastic Composites Prepared from Hemicellulose-extracted Wood Flour

A.A. Enayati<sup>1\*</sup>, O. Hosseinaei<sup>1</sup>, S. Wang<sup>2</sup>, S.A. Mirshokraie<sup>3</sup>, and M. Tajvidi<sup>1</sup>

1. Faculty of Natural Resources, Department of Wood and Paper Sciences, Tehran University, P.O. Box:  
11365-4563, Tehran, Iran

2. Forest Product Center, University of Tennessee, TN, USA

3. Faculty of Sciences, Payame Noor University, P.O. Box: 19395-4697, Tehran, Iran

Received 17 March 2009, accepted 19 July 2009

## Abstract

Hemicellulose of Southern Yellow Pine wood splices was extracted by pressurized hot water at three different temperatures: 140°C, 155°C and 170°C. Compounding with PP (polypropylene) was performed by extrusion after preparing wood flour and sieving to determine its mesh size. The ratio of wood to polymer was 50:50 based on oven-dry weight of wood flour. All extraction treatments and control samples were compounded under two sets of conditions, without and with 2% MAPP as coupling agent. Injection molding was used to make tensile test samples (dogbone) from the pellets made by extrusion. Thermal properties of wood-plastic composites were studied by TGA and DSC while the thermal stability of pretreated wood flours, PP and MAPP were studied by TGA as well. The greater weight loss of wood materials was an indication that higher treatment temperature increases the extractability of hemicellulose. The removal of hemicellulose by extraction improves thermal stability of wood flour, especially for extraction at 170°C. Wood-plastic composites made from extracted fibers at 170°C showed the highest thermal stability. Coupling agent did not have a significant effect on thermal stability but it improved the degree of crystallinity of the composites. Surface roughness of wood fiber increased after treatment. Extraction of hemicellulose increased the degree of crystallinity but it was not significant except for samples from treated wood flour at 170°C and with MAPP.

## واژه‌های کلیدی

چوب - پلاستیک،

همی‌سلولوز، خواص گرمایی،

DSC, TGA

\*مسئول مکاتبات، پیام نگار:

aenayati@ut.ac.ir

## Key Words

wood-plastic,  
hemicellulose, thermal properties,  
DSC, TGA

(\*) To whom correspondence should  
be addressed.

E-mail: aenayati@ut.ac.ir

## مقدمه

اثر گرما تجزیه می‌شود [۸].

روش‌های متفاوتی برای بهبود سازگاری الیاف طبیعی و گرمانزم‌ها به کار گرفته شده است. مهم‌ترین روش استفاده از عوامل جفت کننده مانند مالئیک ایندرید است [۶,۹]. عمل آوری قلیایی با سدیم هیدروکسید روش مفیدی برای حذف موم، لیگنین و همی‌سلولوز از سطح الیاف و نیز کاهش گروه‌های هیدروکسیل و در نتیجه برهم کش بهتر الیاف و زمینه است [۵,۹].

استیل دار کردن روش شناخته شده‌ای برای تغییر شیمیایی گروه‌های هیدروکسیل است که منجر به کاهش قطبیت و آب‌گریز کردن، سازگاری و بهبود چسبندگی این الیاف با زمینه پلیمر می‌شود [۱۰, ۱۱]. عمل آوری گرمایی چوب یکی از روش‌های متداول برای کاهش جذب آب و بهبود ثبات ابعادی آن از راه کاهش گروه‌های هیدروکسیل (بر اثر تخریب همی‌سلولوزها) است [۱۲, ۱۳]. هم‌چنین، عمل آوری گرمایی چوب می‌تواند به سازگاری بهتر مواد لیگنوسسلولوزی با گرمانزم‌ها (به دلیل تخریب همی‌سلولوزها و کاهش قطبیت چوب) منجر شود [۱۴].

به طور کلی، در تمام روش‌های اصلاحی که برای بهبود سازگاری بین الیاف طبیعی و گرمانزم‌ها انجام می‌شود، با کاهش گروه‌های هیدروکسیل (به عنوان عامل آب‌دوست و قطبیت در مواد لیگنوسسلولوزی) از آب‌دوستی الیاف و قطبیت آنها می‌کاهند. حذف همی‌سلولوزها از چوب اثری مشابه دارد و باعث کاهش گروه‌های هیدروکسیل و افزایش سازگاری بین چوب و پلیمر می‌شود.

پایداری گرمایی کمتر مواد لیگنوسسلولوزی نیز یکی از محدودیت‌های ساخت کامپوزیت‌های چوب-پلاستیک است. حذف همی‌سلولوز می‌تواند پایداری گرمایی مواد لیگنوسسلولوزی را نیز تا حدی افزایش دهد. از دیگر پایداری گرمایی آرد چوب می‌تواند باعث بهبود پراکنش مواد در زمینه از راه افزایش دمای فرایند تولید یا طولانی تر کردن زمان اختلاط آنها در اکسترودر شود. افزایش پایداری گرمایی پرکننده‌های لیگنوسسلولوزی امکان استفاده از آنها را به همراه پلیمرهای با دمای ذوب بالاتر نسبت به پلیمرهای رایج فراهم می‌سازد.

در سال‌های اخیر، توجه زیادی به استفاده از همی‌سلولوز به عنوان منبعی تجدیدپذیر در ساخت محصولات شیمیایی متنوع و به ویژه تولید اتانول شده است [۱۵, ۱۶]. قندهای استخراج شده از تخریب همی‌سلولوزها می‌توانند در تولید اتانول به کار گرفته شوند و بخش باقی‌مانده در ساخت کامپوزیت‌ها استفاده شود. تشکیل بلورها در ساختار پلیمرهای نیمه‌بلوری بر اثر افزودن مواد لیگنوسسلولوزی اثر زیادی بر خواص مکانیکی این کامپوزیت‌ها دارد. تشکیل بلورها در

در سال‌های اخیر مواد لیگنوسسلولوزی مانند الیاف چوب، آرد چوب و ضایعات گیاهان کشاورزی به طور گسترده به عنوان پرکننده یا تقویت کننده در ساختار کامپوزیتی پرکننده‌های طبیعی - پلیمرهای گرمانزم استفاده می‌شوند. کاربرد اصلی این کامپوزیت‌ها در ساختمان و صنعت اتومبیل است. گسترش استفاده از مواد لیگنوسسلولوزی در این فراورده‌ها به دلیل قیمت کم، تجدیدپذیری، زیست‌تخریب‌پذیری، چگالی کم، پایداری و سفتی زیاد آنهاست. این کامپوزیت‌ها در حالی که مزایای چوب مانند چگالی کم، قیمت پایین، پایداری در برابر پرتو UV و ویژگی‌های ماشین کاری را دارند، بخش گرمانزم آنها به عنوان لایه‌ای محافظ در برابر نفوذ رطوبت و مخرب‌های زیستی عمل می‌کند [۱, ۲].

در این کامپوزیت‌ها ناسازگاری الیاف طبیعی قطبی با ماده گرمانزم ناقطبی و نیز پایداری کمتر آنها در برابر دمای نسبت به گرمانزم‌ها از موانع اصلی تولید آنها به شمار می‌آید [۲-۴].

برهم کش و چسبندگی بین الیاف و ماده زمینه اثر معنی داری بر رفتار فیزیکی و مکانیکی این کامپوزیت‌ها دارد. ناسازگاری و نبود برهم کش بین الیاف چوب و ماده گرمانزم منجر به چسبندگی ضعیف بین ماده پرکننده و زمینه، انتقال ضعیف تنش از ماده زمینه به الیاف و در نتیجه خواص مکانیکی ضعیف و هم‌چنین ایجاد مسیری برای جذب رطوبت و حمله عوامل مخرب زیستی می‌شود [۵-۷].

پایداری گرمایی کم مواد لیگنوسسلولوزی نسبت به پلیمرهای گرمانزم نیز باعث می‌شود تا نتوان از پلیمرهایی با دمای ذوب بیش از ۲۳۰°C در ساخت کامپوزیت‌های چوب-پلاستیک استفاده کرد [۲].

تمام پلیمرهای چوب (سلولوز، همی‌سلولوز و لیگنین) قطبی و آب‌دوست هستند. ولی در بین آنها همی‌سلولوز بیشترین و لیگنین کمترین قطبیت را دارند [۲]. گروه‌های هیدروکسیل (OH) عامل قطبیت این پلیمرهای است. صرف نظر از وجود این گروه‌ها، در دسترس بودن آنها نیز عامل مهمی به شمار می‌آید. تقریباً تمام گروه‌های هیدروکسیل همی‌سلولوز در دسترس هستند، در حالی که در سلولوز تنها گروه‌های هیدروکسیل بخش‌های غیربلوری آن (حدود ۴۰ درصد) در دسترس است [۲]. همی‌سلولوز حدود ۲۰-۳۵ درصد مواد لیگنوسسلولوزی را تشکیل می‌دهد و پلیمری شاخه‌ای و بی‌شکل است که از قندهای بین کربنی شامل زایلوز، آراینوز و مانوز و قندهای شش کربنی شامل گلوكوز و گالاكتوز تشکیل شده است. ساختار شاخه‌ای و بی‌شکل همی‌سلولوز آن را به ناپایدارترین پلیمر موجود در چوب تبدیل کرده و به آسانی تجزیه می‌شود. همی‌سلولوز نسبت به سایر پلیمرهای مواد لیگنوسسلولوزی پایداری گرمایی کمتری دارد و اولین ماده‌ای است که در

جدول ۱ - کاهش وزن مواد چوبی در سطوح مختلف عمل آوری.

کاهش وزن (%)	فشار حداقل (KPa)	دما (°C)
۸۲	۲۸۳	۱۴۰
۱۷۷	۴۸۳	۱۵۵
۲۴۶	۷۱۷	۱۷۰

عمل آوری محاسبه شد. تراشه‌های خشک شده به وسیله آسیاب تیغه‌ای به آرد چوب تبدیل و با الک‌های ۱۰۰ و ۴۰ مژ غربال شدند. آرد چوب باقی‌مانده با اندازه مناسب به مدت ۱۲ h در گرم خانه با دمای  $103 \pm 2^{\circ}\text{C}$  کاملاً خشک و برای ساخت کامپوزیت به کار گرفته شد.

### فرایند اختلاط و تزریق

ترکیب نمونه‌های عمل آوری شده مختلف و علائم اختصاری آنها در جدول ۲ ارائه شده است. آرد چوب و دانه‌های پلی‌پروپیلن در اکسترودر دوپیچی هم سوگرد با قطر ۲۷ mm و با نسبت قطر به طول ۱ به ۴۰ مخلوط شدند. نسبت اختلاط آرد چوب به پلیمر ۵۰/۵۰ بود (بر مبنای وزن خشک آرد چوب). دمای اختلاط در طول اکسترودر از ۱۸۰ تا  $195^{\circ}\text{C}$ ، دمای حدیده  $180^{\circ}\text{C}$  و سرعت چرخش پیچ ۳۰ rpm بود. مواد مخلوط شده رشته‌ای شکل پس از خروج از اکسترودر، در آب غوطه‌ور شدند تا خنک شوند و به کمک یک دستگاه دانه ساز به دانه تبدیل شدند. دانه‌های ساخته شده در گرم خانه با دمای  $103 \pm 2^{\circ}\text{C}$  به مدت ۱۲ h خشک و سپس نمونه‌های آزمون کشش مطابق استاندارد ASTM D638 به وسیله دستگاه قالب گیری تزریقی ساخته شدند. دمای محفظه اختلاط  $190^{\circ}\text{C}$  و دمای قالب  $135^{\circ}\text{C}$  بود.

جدول ۲ - ترکیب نمونه‌های مختلف.

آرد چوب-پلاستیک	آرد چوب
آرد چوب+PP	شاهد (بدون عمل آوری)
MAPP+PP+	عمل آوری شده در $140^{\circ}\text{C}$
آرد چوب+PP	عمل آوری شده در $155^{\circ}\text{C}$
MAPP+PP+ آرد چوب	عمل آوری شده در $170^{\circ}\text{C}$
آرد چوب+MAPP	
آرد چوب+PP	
آرد چوب+MAPP+PP	

سطح مشترک الیاف و پلیمر به عوامل مختلفی مانند شکل‌شناسی سطح الیاف و ساختار شیمیایی آنها بستگی دارد [۱، ۱۷]. حذف همی‌سلولوز می‌تواند با اثرگذاری بر شکل‌شناسی و ساختار شیمیایی چوب باعث افزایش مقدار بلورینگی کامپوزیت شود.

در این پژوهش، اثر حذف همی‌سلولوز بر پایداری گرمایی آرد چوب، شکل‌شناسی الیاف و خواص گرمایی کامپوزیت مانند پایداری گرمایی، دمای ذوب، مقدار بلورینگی و دمای بلورینگی مطالعه شده است.

### تجربی

### مواد

در این پژوهش، از پلی‌پروپیلن (PP) با شاخص جریان مذاب  $35\text{ g}/10\text{ min}$  در دمای  $230^{\circ}\text{C}$  و چگالی  $910\text{ kg}/\text{m}^3$  محصول شرکت Leominster استفاده شد. ماده جفت‌کننده مورد استفاده کوپلیمر پروپیلن مالئیک دار شده (NP507-030, MAPP) محصول شرکت Equistar با شاخص جریان مذاب  $29\text{ g}/10\text{ min}$  در دمای  $230^{\circ}\text{C}$ ، چگالی  $910\text{ kg}/\text{m}^3$  و حاوی ۱ درصد مالئیک‌انیدرید پیونددزده شده بود که به مقدار ۲ درصد وزن کل کامپوزیت در نمونه‌های حاوی ماده جفت‌کننده استفاده شد.

### دستگاه‌ها

دستگاه قالب گیری تزریقی Sheffer ساخت Cincinnati، اکسترودر دوپیچی هم‌سوگرد Leistritz مدل 27 MICRO، دستگاه تجزیه گرمایزن سنجی Pyris ۱ ساخت Perkin Elmer و میکروسکوپ الکترون عبوری Zeriss ED مدل 1525 ساخت آمریکا به کار گرفته شد.

### روش‌ها

#### استخراج همی‌سلولوز و آماده‌سازی آرد چوب

از تراشه‌های چوب کاج زرد (Pinus spp.) با ضخامت تقریبی  $0.7\text{ mm}$  استفاده و همی‌سلولوز آنها با روش آب داغ زیر فشار استخراج شد. در این روش، آب و مواد لیگنوسلولوزی با نسبت ۲۰ به ۱ در دیگ پخت به مدت  $60\text{ min}$  در سه سطح دمایی  $140^{\circ}\text{C}$ ,  $155^{\circ}\text{C}$  و  $170^{\circ}\text{C}$  (به عنوان عامل متغیر) و زیر فشار گرمادهی شدند. فشار داخل دیگ پخت با افزایش دما افزایش می‌یافت. فشار حداقل در دمای  $140^{\circ}\text{C}$  ارائه شده‌اند. پس از پایان عمل آوری گرمایی، تراشه‌ها در آب شسته شده و در هوای آزاد و پس از آن در گرم خانه با دمای  $48\text{ h}$  خشک شدند. درصد کاهش وزن تراشه‌ها با توجه به وزن خشک آنها پیش و پس از

## آزمون TGA

آزمون TGA برای به دست آوردن اثر گرمادهی و نیز ماده جفت‌کننده بر پایداری گرمایی آرد چوب و کامپوزیت در ۴ تکرار برای هر نمونه انجام شد. علاوه بر آرد چوب و کامپوزیت، نمونه‌هایی از PP و MAPP نیز برای مقایسه با آنها آزمایش شدند.

برای انجام این آزمون نمونه‌هایی با وزن بین ۵ تا ۷ mg از مواد مورد نظر تهیه و در دستگاه TGA قرار داده شد. نمونه‌ها از دمای ۲۵°C تا ۸۰۰°C و با سرعت ۲۰°C/min گرم شدند. این آزمون در مجاورت گاز نیتروژن انجام شد تا از اکسایش مواد جلوگیری شود. کاهش وزن نمونه در طول زمان گرمادهی ثبت و سرعت کاهش آن نیز با استفاده از نمودار DTG (derivative thermogravimetric) و نرم‌افزار دستگاه محاسبه شد.

## بررسی خواص گرمایی به روش DSC

برای انجام این آزمون نمونه‌هایی به وزن ۷-۹ mg از نمونه‌های کشش جدا و در ۴ تکرار برای هر نمونه انجام شد. نمونه‌ها در محفظه‌های آلومینیمی کوچک به کمک پرس دستی فشرده و سپس در دستگاه DSC قرار داده شدند. گرمادهی به شکل ناهم دما و به مقدار ۱۰°C/min به ترتیب زیر انجام شد:

- گرمادهی از ۲۵°C تا ۲۰۰°C،

- گرمادهی در دمای ۲۰۰°C به مدت ۱۰ min برای از بین بردن سابقه گرمادهی اولیه،

- خنک کردن از دمای ۲۰۰°C تا ۲۵°C و

- گرمادهی دوباره از دمای ۲۵°C تا ۲۰۰°C.

داده‌های اولین سرمایش و دومین مرحله گرمادهی برای تحلیل نتایج استفاده شدند. دمای ذوب ( $T_m$ )، آنتالپی ذوب ( $\Delta H_m$ )، دمای بلورینگی ( $T_c$ )، آنتالپی بلورینگی ( $\Delta H_c$ ) و درجه بلورینگی ( $X_c$ ) از روی نمودارها محاسبه شدند. درجه بلورینگی ( $X_c$ ) به کمک معادله (۱) محاسبه شد [۸]:

$$X_c = \frac{\Delta H_c}{\Delta H_m} \times 100 \quad (1)$$

که در آن  $\Delta H_m$  آنتالپی ذوب نمونه،  $* \Delta H_c$  آنتالپی ذوب نمونه PP صدرصد بلور (که ۱۹۰ J/g در نظر گرفته شد) و W درصد وزنی پلیمر در کامپوزیت است.

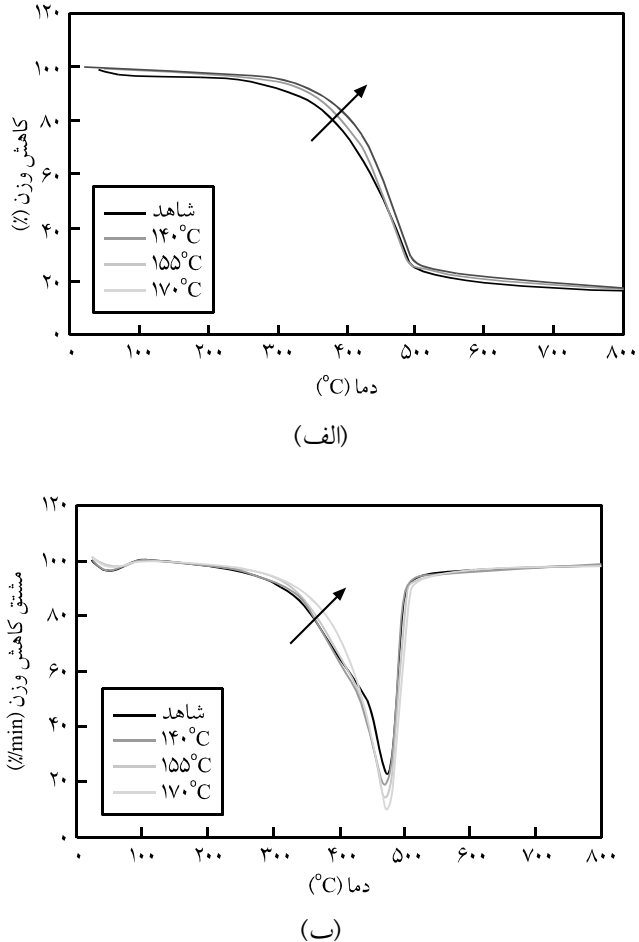
## بررسی شکل‌شناسی الیاف چوب با SEM

نمونه‌هایی از الیاف عمل آوری شده و نشده برای مطالعه شکل‌شناسی سطح الیاف روی نوار چسب کربن قرار داده و بالایه‌ای از طلا پوشش داده شد. تصاویر به کمک میکروسکوپ الکترون عبوری در ولتاژ ۲kV

منحنی دیده نمی‌شود. این تغییر به دلیل پایان تجزیه همی‌سلولوز و آغاز تجزیه سلولوز است که مقاوم‌تر است و در دمای بالاتری اتفاق می‌افتد [۲۱]. این تغییر در منحنی DTG مربوط به نمونه عمل‌آوری شده در  $170^{\circ}\text{C}$  با توجه به حذف تقریباً کامل همی‌سلولوز دیده نمی‌شود. برای بررسی دقیق‌تر مقدار تخریب گرمایی در دماهای مختلف، درصد کاهش وزن آرد چوب در دماهای مختلف در جدول ۳ آورده شده است. در آغاز تخریب گرمایی در دمای  $265^{\circ}\text{C}$  نمونه شاهد ۵ درصد وزن خود را از دست می‌دهد. برای دست‌یابی به مقدار مشابه کاهش وزن، دماهای به ترتیب  $28^{\circ}\text{C}$ ،  $31^{\circ}\text{C}$  و  $46^{\circ}\text{C}$  بالاتر از نمونه کنترل برای نمونه‌های عمل‌آوری شده در  $140^{\circ}\text{C}$ ،  $155^{\circ}\text{C}$  و  $170^{\circ}\text{C}$  نیاز است. تا  $30^{\circ}$  درصد کاهش وزن اختلاف بین نمونه‌های عمل‌آوری شده قابل توجه است، ولی پس از آن با توجه به شروع تخریب سلولوز و پایان یافتن همی‌سلولوز اختلاف بین نمونه‌ها کم می‌شود (به ویژه نمونه شاهد و نمونه‌های عمل‌آوری شده در  $140^{\circ}\text{C}$  و  $155^{\circ}\text{C}$ ) ولی نمونه عمل‌آوری شده در  $170^{\circ}\text{C}$  تا انتها اختلاف معنی‌داری با سایر نمونه‌ها نشان می‌دهد. وجود پیوندهای هیدروژنی فراوان در ساختار سلولوز که موجب می‌شود، انرژی گرمایی در بین پیوندهای زیادی پخش شود، دلیل اصلی مقاومت گرمایی زیاد آن است [۱۱]. در مطالعات مربوط به عمل‌آوری الیاف چوب با بخار زیر فشار، با توجه به اثر مشابه بر حذف همی‌سلولوز می‌تواند قابل مقایسه با این عمل‌آوری باشد. ثابت شده است که درصد لیگنین پس از عمل‌آوری افزایش می‌یابد و این افزایش عامل اصلی افزایش مقاومت گرمایی مواد لیگنوسلولوزی در دماهای بالاست [۲۲]. در نمونه عمل‌آوری شده در  $170^{\circ}\text{C}$  نیز با توجه به بیشترین کاهش وزن و حذف همی‌سلولوز پس از عمل‌آوری می‌توان آن را دارای بیشترین درصد لیگنین و سلولوز دانست و بیشتر بودن دمای تخریب آن را نسبت به سایر نمونه‌های در سطوح زیاد کاهش وزن توجیه کرد. افزایش لیگنین در مواد لیگنوسلولوزی، الیاف لیگنوسلولوزی را در برابر اکسایش حین تخریب گرمایی مقاوم می‌سازد (به دلیل ساختار آروماتیک لیگنین) که می‌تواند در افزایش مقاومت گرمایی الیاف در

جدول ۳ - دما ( $^{\circ}\text{C}$ ) در درصدهای مختلف کاهش وزن آرد چوب نمونه‌های مختلف در آزمون TGA.

	۸۰	۷۰	۶۰	۵۰	۴۰	۳۰	۲۰	۱۰	۵	کاهش وزن (%)
۶۰۱	۴۸۶	۴۷۰	۴۵۶	۴۳۷	۴۱۳	۳۸۳	۳۲۹	۲۶۵		شاهد
۶۵۴	۴۸۴	۴۶۹	۴۵۶	۴۳۹	۴۱۷	۳۸۹	۳۴۵	۲۹۳		$140^{\circ}\text{C}$
۶۳۰	۴۸۶	۴۷۱	۴۵۸	۴۴۳	۴۲۲	۳۹۴	۳۴۸	۲۹۶		$155^{\circ}\text{C}$
۶۷۵	۴۹۲	۴۷۷	۴۶۵	۴۵۱	۴۲۳	۴۰۷	۳۶۰	۳۱۱		$170^{\circ}\text{C}$



شکل ۱ - منحنی: (الف) DTG و (ب) TGA آرد چوب در نمونه‌های عمل‌آوری شده مختلف (جهت پیکان کاهش سرعت تخریب از نمونه عمل‌آوری نشده به عمل‌آوری شده را با افزایش دما نشان می‌دهد).

ولی تجزیه لیگنین منجر به تولید قطران و زغال می‌شود [۸]. نمودار TGA مربوط به عمل‌آوری‌های مختلف نشان می‌دهد که با افزایش مقدار حذف همی‌سلولوز پایداری گرمایی آرد چوب افزایش می‌یابد. اختلاف بین پایداری گرمایی نمونه شاهد و نمونه عمل‌آوری شده در دمای  $70^{\circ}\text{C}$ ، که تقریباً بدون همی‌سلولوز است، مشهودتر است. منحنی DTG (شکل ۱ ب) نشان می‌دهد، سرعت کاهش وزن نمونه بدون همی‌سلولوز در مراحل ابتدایی گرمادهی و حتی تا دمای حدود  $420^{\circ}\text{C}$  کمتر از نمونه شاهد است. این موضوع نشان می‌دهد، با حذف همی‌سلولوز و افزایش درصد لیگنین و سلولوز در مقدار وزن مشخص آرد چوب پایداری گرمایی آن نیز بیشتر می‌شود. در شکل های DTG در دمای حدود  $390^{\circ}\text{C}$  منحنی مربوط به نمونه شاهد (تا حدودی نمونه عمل‌آوری شده در  $140^{\circ}\text{C}$ ) کاهشی در سرعت تخریب نشان می‌دهد، در حالی که در نمونه عمل‌آوری شده در  $170^{\circ}\text{C}$  این تغییر در

پایداری گرمایی نمونه‌های دارای MAPP و نمونه‌های بدون MAPP مشاهده نمی‌شود.

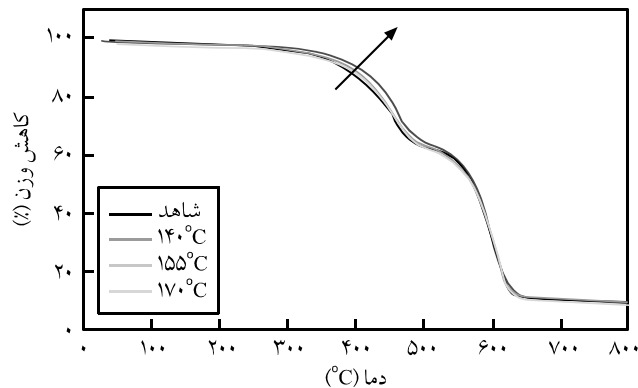
منحنی‌های DTG مربوط به کامپوزیت‌ها (شکل‌های ۲-ب و ج) نشان می‌دهد، اختلاف بین پایداری گرمایی کامپوزیت‌ها مربوط به مرحله اول تخریب گرمایی (بخش مربوط به چوب) است. به دلیل حذف همی‌سلولوز درآرد چوب، بخش ابتدایی منحنی مربوط به تخریب چوب در نمونه عمل آوری شده در  $170^{\circ}\text{C}$  در مقایسه با نمونه کنترل و سایر نمونه‌ها سرعت کاهش وزن کمتر و در نتیجه پایداری گرمایی بیشتری دارد.

اختلاف بارزتر بین نمونه شاهد و نمونه عمل آوری شده در دمای  $170^{\circ}\text{C}$  باعث شده است تا تجزیه گرمایی کامپوزیت کندر و در دمای بالاتری انجام شود. با توجه به این که اختلاف بین نمونه‌ها (به ویژه بین نمونه شاهد و نمونه‌های عمل آوری شده در  $140$  و  $155^{\circ}\text{C}$ ) کم است،

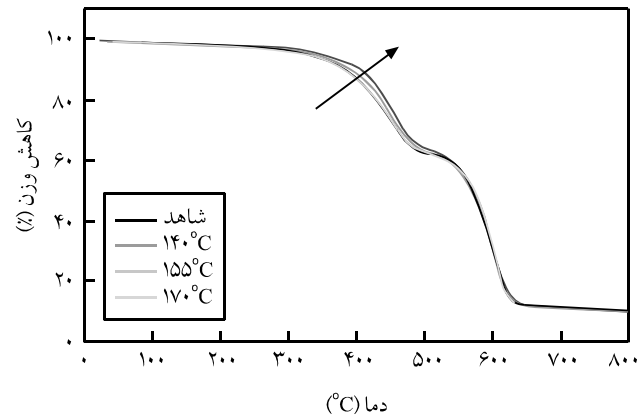
مجاورت اکسیژن نیز مؤثر باشد [۲۱].

منحنی‌های TGA مربوط به کامپوزیت‌های بدون MAPP (شکل ۲-الف) و کامپوزیت‌های حاوی MAPP (شکل ۲-ج) تغییر در پایداری گرمایی کامپوزیت‌ها را برای استفاده از پرکننده‌های عمل آوری شده نشان می‌دهد. در منحنی‌های مربوط به کامپوزیت‌ها دو مرحله در کاهش وزن دیده می‌شود. مرحله اول که از دمای حدود  $250^{\circ}\text{C}$  تا  $500^{\circ}\text{C}$  در برمی‌گیرد، مربوط به آرد چوب و مرحله دوم که از دمای حدود  $500^{\circ}\text{C}$  تا  $650^{\circ}\text{C}$  است، مربوط به تخریب گرمایی پلیمر است که پایداری گرمایی بیشتری نسبت به چوب دارد.

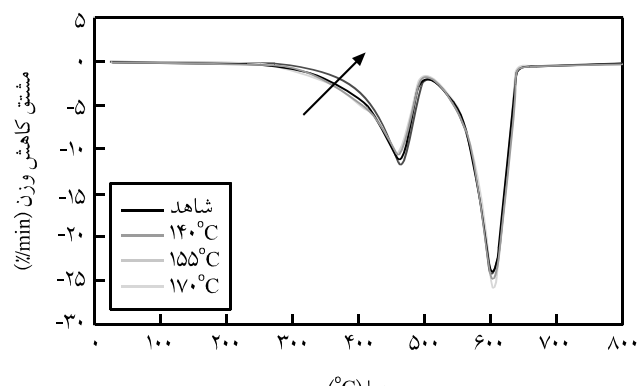
در شکل ۳ مشاهده می‌شود که PP از دمای حدود  $400^{\circ}\text{C}$  شروع به تجزیه می‌کند و تا دمای  $650^{\circ}\text{C}$  تجزیه آن کامل می‌شود. پایداری گرمایی MAPP بیشتر از PP است. اما، با توجه به درصد کم استفاده از آن در کامپوزیت‌ها (۲ درصد وزن کل کامپوزیت) اختلاف قابل توجهی بین



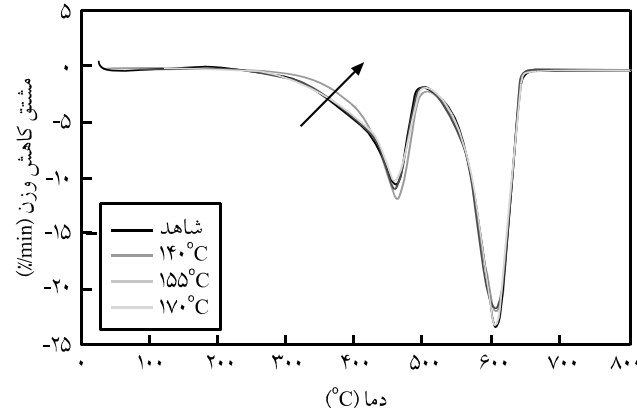
(ج)



(الف)



(د)



(ب)

شکل ۲- (الف) و (ب) TGA و (ج) و (د) DTG کامپوزیت‌ها در عمل آوری‌های مختلف (شکل‌های الف و ب مربوط به نمونه‌های بدون MAPP و شکل‌های ج و د مربوط به نمونه‌های حاوی MAPP است).

سایر نمونه‌ها به دلیل درصد زیاد لیگنین و سلولوز است که عامل اصلی افزایش مقاومت گرمایی کامپوزیت ساخته شده از این نمونه است. اثر لیگنین بر افزایش مقاومت گرمایی کامپوزیت‌ها در مطالعات مختلف نشان داده شده است و دلیل آن وجود ساختار آروماتیک در لیگنین است که مقاومت زیادی در برابر گرما دارد و باعث افزایش مقاومت گرمایی کامپوزیت می‌شود [۲۳، ۲۴].

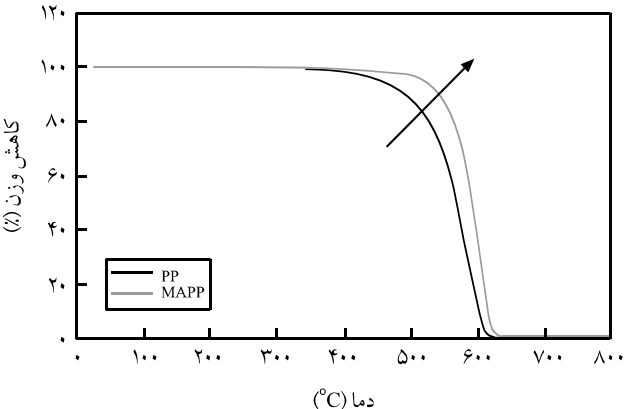
### DSC نتایج

نتایج بررسی خواص گرمایی کامپوزیت‌ها (ناشی از اندازه‌گیری DSC) در جدول ۵ ارائه شده است. تجزیه واریانس و آزمون دانکن اختلاف معنی داری ( $P < 0.01$ ) را بین مقدار بلورینگی نمونه‌های مختلف نشان دادند. بر اساس نتایج آزمون دانکن بین مقدار بلورینگی نمونه‌های بدون ماده جفت کننده اختلاف معنی داری مشاهده نمی‌شود، هر چند مقدار بلورینگی پس از حذف همی‌سلولوز اندکی افزایش می‌یابد. افزودن ماده جفت کننده باعث افزایش معنی دار بلورینگی نسبت به نمونه‌های بدون ماده جفت کننده شد (در تمام نمونه‌ها). نمونه عمل آوری شده در  $170^{\circ}\text{C}$  و دارای ماده جفت کننده که بیشترین مقدار بلورینگی را دارد، اختلاف معنی داری با تمام نمونه‌ها نشان داد. شکل‌های ۴ و ۵ اختلاف بین خواص گرمایی نمونه کنترل و نمونه عمل آوری شده در  $170^{\circ}\text{C}$  دارای ماده جفت کننده را نشان می‌دهد که مشهودتر از سایر نمونه‌ها هستند. هنگامی که پلیمر مذاب در مجاورت سطح خارجی با قابلیت ایجاد هسته‌های بلوری قرار گیرد، در سطح الیاف بلورها در جهت شعاعی از

جدول ۵ - خواص گرمایی کامپوزیت‌ها در نمونه‌های عمل آوری شده مختلف.

$X_c$ (%)	$-\Delta H_c$ (g/J)	$T_c$ ( $^{\circ}\text{C}$ )	$\Delta H_m$ (g/J)	$T_m$ ( $^{\circ}\text{C}$ )	کاهش وزن (%)
۴۲/۸۸ (۰/۸۱) <sup>a</sup>	۹۷/۳۳	۱۱۲/۹	۸۷/۴۷	۱۶۰/۲	شاهد
۴۳/۹۵ (۰/۷۱) <sup>a</sup>	۹۲/۷۵	۱۱۴/۱	۸۳/۵	۱۶۰/۳	۱۴۰ $^{\circ}\text{C}$
۴۴/۴ (۰/۷۴) <sup>a</sup>	۹۳/۱۳	۱۱۳/۴	۸۳/۶۷	۱۶۰/۱	۱۵۵ $^{\circ}\text{C}$
۴۳/۹۷ (۰/۶۲) <sup>a</sup>	۹۱/۸۷	۱۱۲/۶	۸۳/۴۷	۱۶۷/۴	۱۷۰ $^{\circ}\text{C}$
۴۵/۳۷ (۰/۶۴) <sup>b</sup>	۹۴/۴۷	۱۱۸/۲	۸۶/۲	۱۶۷/۷	MAPP+شاهد
۴۵/۴۰ (۰/۶۲) <sup>b</sup>	۹۳/۲۷	۱۱۸/۴	۸۶/۲۷	۱۶۷/۵	MAPP+۱۴۰ $^{\circ}\text{C}$
۴۵/۴۲ (۰/۹۲) <sup>b</sup>	۹۳/۸	۱۱۸/۲	۸۶/۳	۱۶۷/۷	MAPP+۱۵۵ $^{\circ}\text{C}$
۴۷/۰۶ (۰/۳۳) <sup>c</sup>	۹۷/۷	۱۱۹/۳	۹۱/۳	۱۶۲/۵	MAPP+۱۷۰ $^{\circ}\text{C}$

حروف در کتاب اعداد مریبوط به مقادیر بلورینگی، گروه‌بندی دانکن را نشان می‌دهند.  
اعداد داخل پرانتز مقادیر انحراف معیار است.



شکل ۳ - منحنی TGA مریبوط به PP و MAPP

برای مقایسه بهتر نتایج درصد کاهش وزن کامپوزیت‌ها در دماهای مختلف در جدول ۴ آورده شده‌اند. نمونه عمل آوری شده در  $140^{\circ}\text{C}$  در هر دو نوع کامپوزیت اختلافی با نمونه شاهد نشان نمی‌دهد. هر چند شروع تخریب گرمایی نمونه عمل آوری شده در  $155^{\circ}\text{C}$  (۵ درصد کاهش وزن) در دمایی بالاتر از نمونه شاهد است، ولی پس از ۱۰ درصد کاهش وزن اختلاف آن با نمونه شاهد ناچیز می‌شود (در هر دو نوع کامپوزیت).

دماهای مورد نیاز برای تخریب نمونه عمل آوری شده در  $170^{\circ}\text{C}$  و  $5^{\circ}\text{C}$  درصد کاهش وزن در هر دو نمونه دارای MAPP و بدون MAPP حدود  $25^{\circ}\text{C}$  بیشتر از نمونه شاهد است. در تمام کامپوزیت‌ها  $50^{\circ}\text{C}$  درصد کاهش وزن و بیشتر از آن در دمای تقریباً یکسان اتفاق می‌افتد که به دلیل کاهش بخش چوبی و غالب شدن اثر پلیمر بر تخریب است. بیشتر بودن پایداری گرمایی آرد چوب نمونه عمل آوری شده در  $170^{\circ}\text{C}$  نسبت به

جدول ۴ - دما ( $^{\circ}\text{C}$ ) در درصدهای مختلف کاهش وزن کامپوزیت‌ها در نمونه‌های مختلف در آزمون TGA.

کاهش وزن (%)	۸۰	۷۰	۶۰	۵۰	۴۰	۳۰	۲۰	۱۰	۵	۰
شاهد	۶۱۴	۶۰۱	۵۸۸	۵۷۲	۵۳۳	۴۶۲	۴۳۳	۳۸۲	۳۳۵	
$140^{\circ}\text{C}$	۶۱۳	۶۰۰	۵۸۸	۵۷۱	۵۳۱	۴۶۰	۴۳۲	۳۸۳	۳۳۸	
$155^{\circ}\text{C}$	۶۱۴	۶۰۱	۵۸۸	۵۷۱	۵۳۳	۴۶۴	۴۳۸	۳۹۱	۳۴۵	
$170^{\circ}\text{C}$	۶۱۶	۶۰۲	۵۹۰	۵۷۳	۵۰۴	۴۶۹	۴۴۵	۴۰۵	۳۶۰	
MAPP+شاهد	۶۱۲	۶۰۰	۵۸۷	۵۷۱	۵۳۴	۴۶۵	۴۳۷	۳۸۶	۳۴۰	
MAPP+۱۴۰ $^{\circ}\text{C}$	۶۱۱	۶۰۰	۵۸۹	۵۷۴	۵۳۷	۴۶۴	۴۳۷	۳۹۰	۳۴۹	
MAPP+۱۵۵ $^{\circ}\text{C}$	۶۱۲	۶۰۰	۵۸۸	۵۷۲	۵۳۶	۴۶۷	۴۴۰	۳۹۴	۳۵۱	
MAPP+۱۷۰ $^{\circ}\text{C}$	۶۱۴	۶۰۲	۵۹۰	۵۷۵	۵۴۳	۴۷۳	۴۵۰	۴۰۹	۳۶۶	

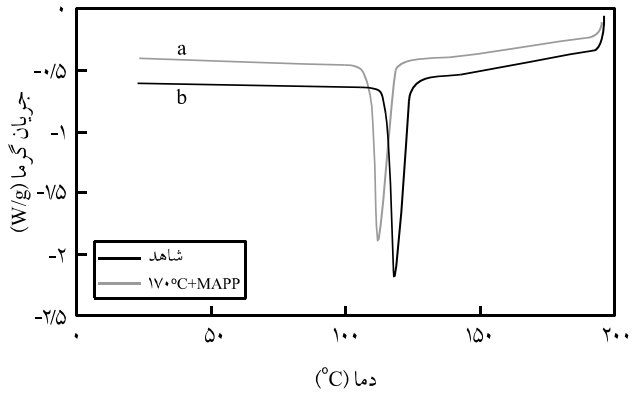
مکانیکی کامپوزیت‌ها شود [۲۷]. احتمال می‌رود تشکیل این لایه، از راه ایجاد برهم‌کنش‌های ثانویه مانند پیوند و اندروالس باعث چسبندگی بهتر در ناحیه سطح مشترک، بهبود انتقال تنفس از زمینه به الیاف و افزایش خواص مکانیکی کامپوزیت شود [۲۸]. اندازه و مقدار بلورها بر خواص مکانیکی کامپوزیت اثر دارد و افزایش آنها می‌تواند نشانه سازگاری و چسبندگی بهتر الیاف و ماده پلیمری و بهبود خواص مکانیکی باشد [۱۷، ۲۵، ۲۶].

بر اساس نتایج مقدار درجه بلورینگی در اثر افزودن MAPP به کامپوزیت افزایش یافته است (جدول ۵). ماده جفت‌کننده باعث افزایش هسته‌های بلوری و افزایش بلورها در اطراف الیاف و ازدیاد درجه بلورینگی پلیمر شده است. در مطالعات Harper و Wolcott و Yin و همکاران Lee و همکاران نیز به نقش ماده جفت‌کننده بر افزایش درجه بلورینگی از راه افزایش قابلیت ایجاد هسته‌های بلوری در الیاف اشاره شده است [۲۹، ۳۰].

افزایش درجه بلورینگی هنگام استفاده از ماده جفت‌کننده می‌تواند به این دلیل باشد که مولکول‌های ماده سازگار‌کننده از راه افزایش اتصالات مکانیکی و حتی شیمیایی (بین گروه‌های ایندیرید ماده جفت‌کننده و گروه‌های هیدروکسیل الیاف چوب) باعث ازدیاد درگیری و نزدیکی زنجیرهای پلیمر و چوب شده و با پیشرش شدن قابلیت ایجاد هسته‌های بلوری باعث افزایش بلورینگی می‌شود [۲۹، ۳۰]. افزایش قابلیت ایجاد هسته‌های بلوری در الیاف درجه بلوری در الیاف باعث تشکیل سریع تر بلورها و افزایش دمای بلورینگی ( $T_g$ ) می‌شود [۳۰، ۳۱]. ازدیاد دمای بلورینگی در نمونه‌های حاوی MAPP نیز نشان‌دهنده تشکیل سریع تر بلورها در مجاورت ماده جفت‌کننده است و نقش آن در افزایش قابلیت ایجاد هسته‌های بلوری در الیاف و تحریک به تشکیل بلورهای ثابت می‌کند.

حذف همی‌سلولوز نیز باعث افزایش درجه بلورینگی در کامپوزیت‌ها شده است، هرچند که اثر عمل آوری در مقایسه با اثر ماده جفت‌کننده کمتر است و به غیر از نمونه عمل آوری شده در  $170^{\circ}\text{C}$  همراه با ماده جفت‌کننده در سایر نمونه‌ها اثر آن معنی دار نیست. حذف همی‌سلولوزها باعث افزایش خلل و فرج و زبری سطح الیاف و هم‌چنین احتمالاً افزایش مقدار سلولوز می‌شود که هر دو در افزایش بلورینگی پلیمر در سطح الیاف (از راه ایجاد هسته‌های بلوری) و درنتیجه افزایش درجه بلورینگی پلیمر نقش دارند. بررسی سطح تراشه‌های چوب به کمک میکروسکوپ الکترونی (شکل ۶) به وضوح اثر عمل آوری بر افزایش زبری سطح، جدادشده‌گی بخش‌هایی از سطح الیاف و تخریب در آن را نشان می‌دهند که می‌تواند باعث افزایش سطح تماس پلیمر و الیاف شود.

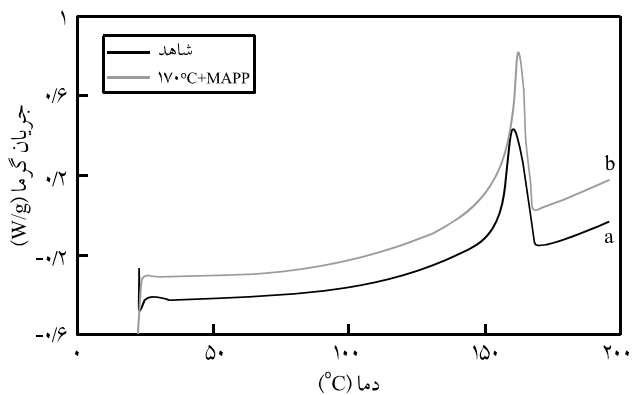
مطالعات Paredes و همکاران نیز افزایش خلل و فرج، شکاف و



شکل ۴- منحنی DSC در مرحله سرمایش مربوط به نمونه‌های شاهد و عمل آوری شده در  $170^{\circ}\text{C}$  دارای MAPP.

سطح آن رشد کرده و باعث تشکیل لایه‌ای بلوری در اطراف الیاف می‌شود [۲۵]. الیاف لیگنوسلولوزی و سطح آنها نیز به عنوان عامل ایجاد کننده هسته‌های بلوری عمل می‌کنند و در تماس با پلیمرهای نیمه بلوری باعث تشکیل این لایه می‌شوند [۱۷، ۲۵].

مطالعات زیادی در باره چگونگی تشکیل این لایه و اثر آن بر خواص کامپوزیت‌ها انجام شده است [۱۷، ۲۵، ۲۶]. مقدار تشکیل این لایه به عوامل زیادی از جمله ترکیب شیمیایی و شکل‌شناسی سطح الیاف بستگی دارد [۲۵، ۱]. به طور کلی می‌توان گفت، هرچه سطح الیاف زبرتر باشد، مقدار تشکیل این لایه بیشتر است. در بین پلیمرهای مواد لیگنوسلولوزی، سلولوز مقدار تشکیل این لایه را افزایش می‌دهد و لیگنین و همی‌سلولوز نقشی بازدارنده را در تشکیل این لایه دارند [۲۵، ۲۶]. بیشتر بودن مدول کشسان و استحکام برشی و کششی در این لایه نسبت به سایر بخش‌های پلیمر می‌تواند باعث بهبود خواص

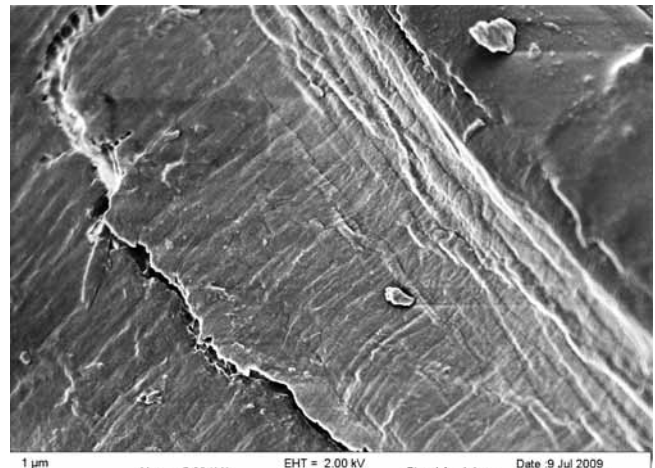


شکل ۵- منحنی DSC در مرحله گرمادهی مربوط به نمونه‌های شاهد و عمل آوری شده در  $170^{\circ}\text{C}$  دارای MAPP.

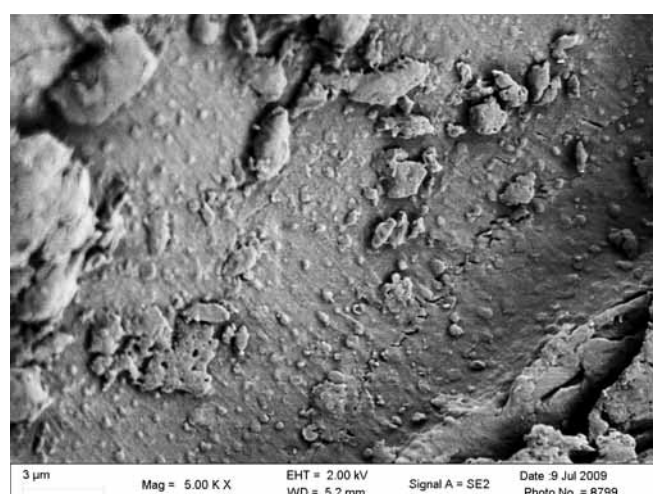
حاوی ماده جفت‌کننده بیشترین درجه بلورینگی را دارند که دلیل آن اثر مضاعف حذف همی‌سلولوز و وجود ماده جفت‌کننده به عنوان عامل تقویت کننده پیدایش بلورهاست [۲۶].

## نتیجه‌گیری

حذف همی‌سلولوز از ماده لیگنوسلولوزی با توجه به این که ناپایدارترین و حساس‌ترین پلیمر در این مواد است، با استفاده از عمل آوری آبی - گرمایی امکان‌پذیر است. با ازدیاد دمای عمل آوری، مقدار همی‌سلولوز حذف شده نیز افزایش می‌یابد. با توجه به این که پایداری گرمایی همی‌سلولوز کمتر از سلولوز و لیگنین است، با حذف آن پایداری گرمایی آرد چوب افزایش یافته و تخریب گرمایی آن در دمای بالاتر و با سرعت کمتری نسبت به نمونه شاهد اتفاق می‌افتد. با افزایش مقدار حذف همی‌سلولوز (نمونه عمل آوری شده در دمای ۱۷۰°C) پایداری گرمایی کامپوزیت ساخته شده از این الیاف نیز زیاد می‌شود. ماده جفت‌کننده اثری بر پایداری گرمایی کامپوزیت نشان نداد. افزایش پایداری گرمایی آرد چوب می‌تواند در فرایند تولید کامپوزیت‌ها مفید و امکان تولید آنها را با پلیمرهای دارای دمای ذوب بالاتر فراهم آورد. ماده جفت‌کننده اثر کاملاً معنی‌داری بر افزایش درجه بلورینگی و سرعت تشکیل بلورها داشت. حذف همی‌سلولوز باعث افزایش درجه بلورینگی پلیمر از راه افزایش زبری سطح الیاف شد، ولی تنها در نمونه عمل آوری شده در ۱۷۰°C و در مجاورت ماده جفت‌کننده اثر آن معنی‌دار بود. الیاف عمل آوری شده در دمای ۱۷۰°C و کامپوزیت‌های ساخته شده از این الیاف دارای بیشترین مقاومت گرمایی بودند. کامپوزیت دارای ماده جفت‌کننده و الیاف عمل آوری شده در دمای ۱۷۰°C دارای بیشترین درجه بلورینگی بودند. با توجه به نتایج پایداری گرمایی آرد چوب می‌توان گفت، پس از حذف تقریباً کامل همی‌سلولوز (نمونه عمل آوری شده در دمای ۱۷۰°C) می‌توان کامپوزیت‌هایی را در دمایی به مراتب بالاتر از حد تحمل نمونه کنترل و حتی بالاتر از ۲۰۰°C تهیه کرد، هر چند دمای نهایی بستگی به سایر موارد مانند سرعت فراورش نیز دارد.



(الف)



(ب)

شکل ۶ - سطح الیاف چوب : (الف) پیش از عمل آوری و (ب) پس از عمل آوری.

تخریب در سطح الیاف چوب را پس از عمل آوری و استخراج همی‌سلولوز نشان می‌دهد [۳۲].

اثر مثبت زبری سطح الیاف بر افزایش هسته‌های بلوری و پیدایش بلورها در سطح الیاف در مطالعات Lee و همکاران نیز نشان داده شده است. نمونه‌های ساخته شده از الیاف عمل آوری شده در دمای ۱۷۰°C و

## مراجع

- Harper D. and Wolcott M., Interaction between Coupling Agent and Lubricants in Wood Polypropylene Composites, *Composites, Part A: Appl. Sci. Manufact.*, **35**, 385-394, 2004.
- Natural Fibers, Biopolymers and Biocomposites, Mohanty A.K., Misra M., and Drzal L.T. (Eds.), Taylor and Francis Group, Boca Raton, 347-389, 2005.

3. Liu F.P., Wolcott M.P., Gardner D.J., and Rials T.G., Characterization of the Interface between Cellulosic Fibers and a Thermoplastic Matrix, *J. Compos. Interface*, **2**, 419-432, 1994.
4. Mahlberg R., Paajanen L., Nurmi A., Kivistö K., and Rowell R.M., Effects of Chemical Modification of Wood on the Mechanical and Adhesion Properties of Wood Fiber/Polypropylene Fiber and Polypropylene/Veneer Composites, *Holz als Roh- und Werkstoff*, **59**, 319-326, 2001.
5. Albano C., Ichazo M., Gonzalez J., Delgado M., and Polo R., Effects of Filler Treatments on the Mechanical and Morphological Behavior of PP+Wood Flour and PP+Sisal Fiber, *J. Mat. Res. Innovat.*, **4**, 284-293, 2001.
6. Kazayawok M., Balatinecs J.J., and Matuana L.M., Surface Modification and Adhesion Mechanisms in Woodfiber-Polypropylene Composites, *J. Mater. Sci.*, **34**, 6189-6199, 1999.
7. Pendleton D.E., Hoffard T.A., Adcock T., Woodward B., and Wolcott M.P., Durability of an Extruded HDPE/Wood Composite, *Fores. Produc. J.*, **52**, 21-27, 2002.
8. *Handbook of Wood Chemistry and Wood Composites*, Rowell R.M. (Ed.), CRC, Florida, 512, 2005.
9. Li X., Tabi L.G., and Panigrahi S., Chemical Treatment of Natural Fiber for Use in Natural Fiber-Reinforced Composites: A Review, *J. Polym. Environ.*, **15**, 25-33, 2007.
10. Ibach R.E. and Clemons C.M., Effects of Acetylated Wood Flour or Coupling Agent on Moisture, UV and Biological Resistance of Extruded Woodfiber-Plastic Composites, *Proceeding of Wood Protection*, New Orleans, USA, 139-147, 21-23 March, 2006.
11. Manikandan Nair K.C., Thomas S., and Groeninckx G., Thermal and Dynamic Mechanical Analysis of Polystyrene Composites Reinforced with Short Sisal Fibers, *Compos. Sci. Technol.*, **61**, 2519-2529, 2001.
12. Rowell R., Lange S., McSweeney J., and Davis M., Modification of Wood Fiber Using Steam, *Proceeding of the 6th Pacific Rim Bio-Based Composites Symposium & Workshop on the Chemical Modification of Cellulosics*, Portland, USA, 606-615, 10-13 November 2002.
13. Tjeerdsma B.F. and Militz H., Chemical Changes in Hydrothermal Treated Wood: FTIR Analysis of Combined Hydrothermal and Dry Heat-Treated Wood, *Holz als Roh-und Werkstoff*, **63**, 101-111, 2005.
14. Lee S.Y., Wolcott M.P., Rials T.G., and Gorman T.M., Influence of Surface Characteristics of TMP Fibers to the Growth of TCL on the Liner Fiber Surface (I): Aspect in the Surface Roughness, *Proceeding of the Sixth International Conference on Woodfiber-Plastic Composites*, Madison, USA, 107-118, 15-16 May, 2001.
15. Mosier N., Wyman C., Dale B., Elander R., Lee Y.Y., Holtzapfle M., and Ladisch M., Features of Promising for Pretreatment of Lignocellulosic Biomass, *Bioresource Technol.*, **96**, 673-686, 2005.
16. Wyman C.E., Dale B.E., Elander R.T., Holtzapfle M., Ladisch M.R., and Lee Y.Y., Coordinated Development of Leading Biomass Pretreatment Technologies, *Bioresource Technol.*, **96**, 1959-1966, 2005.
17. Flex J.M. and Gatenholm P., Effect of Transcristalline Morphology on Interfacial Adhesion in Cellulose/Polypropylene Composites, *J. Mater. Sci.*, **29**, 3043-3049, 1994.
18. Lu J.Z. and Wu Q., Chemical Coupling in Wood Fiber and Polymer Composites: A Review of Coupling Agents and Treatments, *J. Wood Fiber Sci.*, **32**, 88-104, 2000.
19. Caballero J.A., Font R., and Marcilla A., Pyrolysis of Kraft Lignin: Yields and Correlations, *J. Anal. Appl. Pyrol.*, **39**, 161-183, 1997.
20. Koztowski R. and Wtadyka-Przybylak M., Flammability and Fire Resistance of Composites Reinforced by Natural Fibers, *Polym. Adv. Technol.*, **19**, 446-453, 2008.
21. Muller-Hagedorn M., Bockhorn H., Krebs L., and Muller U., A Comparative Kinetic Study on the Pyrolysis of Three Different Wood Species, *J. Anal. Appl. Pyrol.*, **68-69**, 231-249, 2003.
22. Negro M.J., Manzanares P., Oliva J.M., Ballesteros I., and Ballesteros M., Changes in Various Physical/Chemical Parameters of Pinus Pinaster Wood after Steam Explosion Pretreatment, *Biomass and Bioenergy*, **25**, 301-308, 2003.
23. Kumar A.P., Singh R.P. and Sarwade B.D., Degradability of Composites, Prepared from Ethylene-Propylene Copolymer and Jute Fiber under Accelerated Aging and Biotic Environments, *Mater. Chem. Phys.*, **92**, 458-469, 2005.
24. Sarkar S. and Adhikari B., Jute Felt Composites from Lignin Modified Phenolic Resin, *Polym. Compos.*, **22**, 518-527, 2001.
25. Gray D.G., Polypropylene Transcristallization at the Surface of Cellulose Fibers, *J. Polym. Sci.: Polym. Lett. Ed.*, **12**, 509-515, 1974.

26. Kaboorani A., Faezipour M., and Ebrahimi G., Feasibility of Using Heat Treated Wood in Wood/Thermoplastic Composites, *J. Reinforc. Plast. Compos.*, **27**, 1689-1699, 2008.
27. Folkes M.J. and Hardwick S.T., Direct Study of the Structure and Properties of Transcristalline Layers, *J. Mater. Sci.*, **6**, 656-658, 1987.
28. Sanadi A.R. and Caulfield D.F., Transcristalline Interfaces in Natural Fiber-PP Composites: Effect of Coupling Agent, *Compos. Interface*, **7**, 31-43, 2000.
29. Yin S., Rials T.G., and Wolcott M.P., Crystallization Behavior of Polypropylene and Its Effect on Woodfiber Composite Properties, *Proceeding of the fifth International Conference on Wood-fiber-Plastic Composites*, Madison, USA, 139-146, 26-27 May, 1999.
30. Hristov V. and Vasileva S., Dynamic Mechanical and Thermal Properties of Modified Poly(propylene) Wood Fiber Composites, *Macromol. Master. Eng.*, **288**, 798-806, 2003.
31. Ning N.Y., Yin Q.J., Luo f., Zhang Q., Du R., and Fu Q., Crystallization Behavior and Mechanical Properties of Polypropylene/Halloysite Composites, *Polymer*, **48**, 7374-7384, 2007.
32. Paredes J.J., Mills R., Shaler S.M., Gardner D.J., and Heiningen A.V., Surface Characterization of Red Maple Strands after Hot Water Extraction, *Wood Fiber Sci.*, **41**, 38-50, 2009.